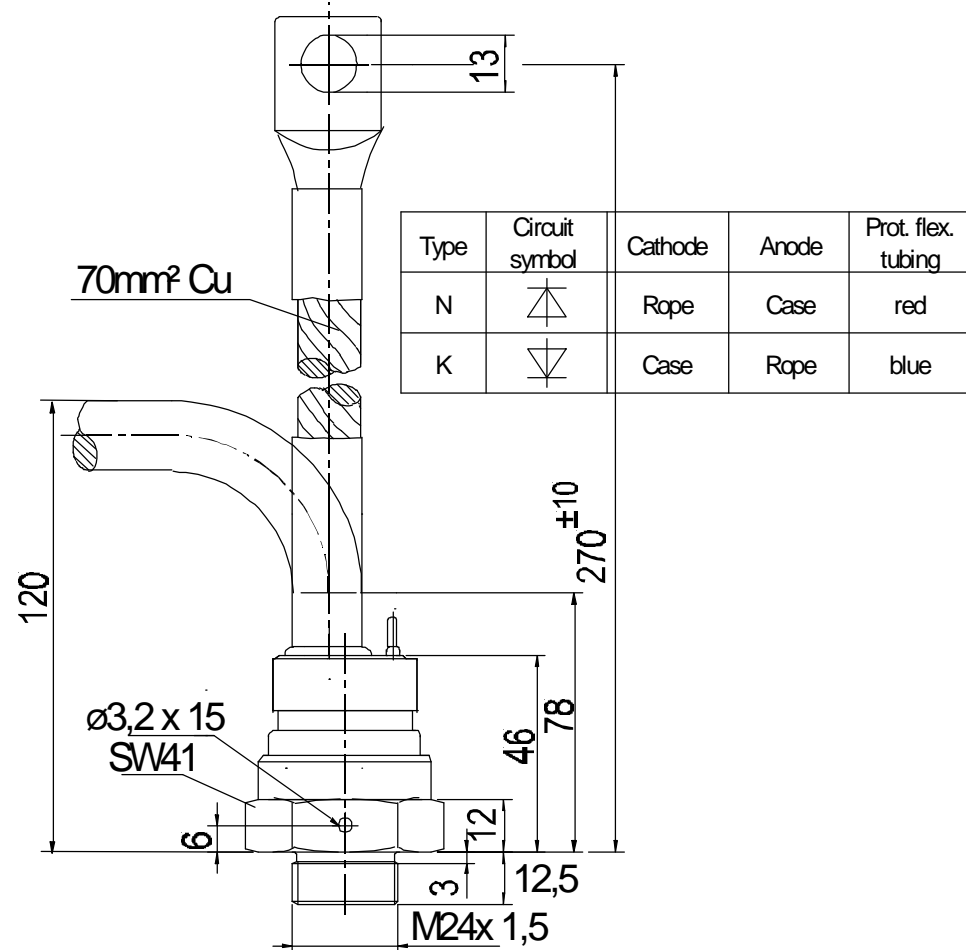


European
Power-
Semiconductor and
Electronics Company
GmbH + Co. KG

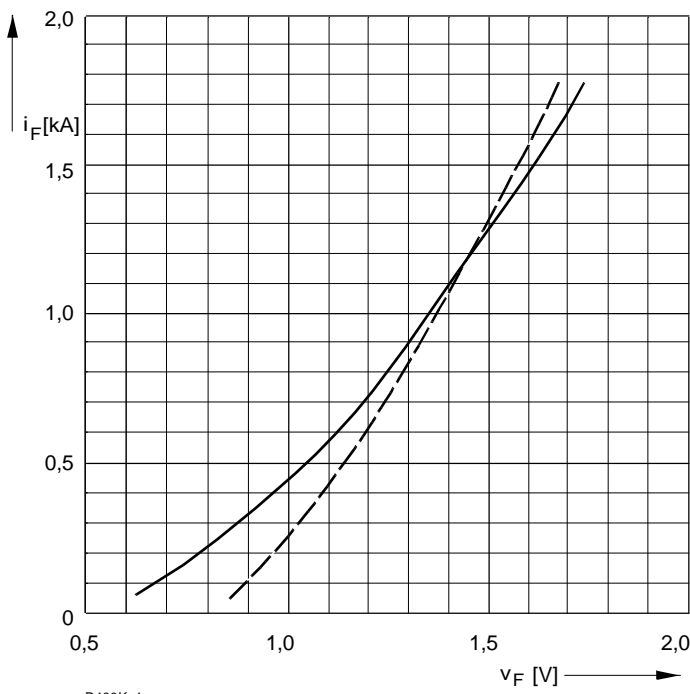
Leistungsgleichrichterdioden Power Rectifier Diodes D 400 K



D 400 K

Elektrische Eigenschaften		Electrical properties				
Höchstzulässige Werte		Maximum rated values				
Periodische Spitzensperrspannung	repetitive peak reverse voltage	$t_{vj} = -40^{\circ}\text{C} \dots t_{vj\ max}$	V_{RRM}	1200, 1600	V	
				1800, 2200	V	
Stoßspitzensperrspannung	non-repetitive peak reverse voltage	$t_{vj} = +25^{\circ}\text{C} \dots t_{vj\ max}$	$V_{RSM} = V_{RRM}$	+ 100	V	
Durchlaßstrom-Grenzeffektivwert	RMS forward current		I_{FRMSM}	710	A	
Dauergrenzstrom	mean forward current	$t_c = 130^{\circ}\text{C}$ $t_c = 121^{\circ}\text{C}$	I_{FAVM}	400	A	
Stoßstrom-Grenzwert	surge forward current	$t_{vj} = 25^{\circ}\text{C}, t_p = 10\text{ ms}$ $t_{vj} = t_{vj\ max}, t_p = 10\text{ ms}$	I_{FSM}	12,2	kA	
Grenzlastintegral	$I^2 t$ -value	$t_{vj} = 25^{\circ}\text{C}, t_p = 10\text{ ms}$ $t_{vj} = t_{vj\ max}, t_p = 10\text{ ms}$	$I^2 t$	744	kA^2s	
				470,5	kA^2s	
Charakteristische Werte		Characteristic values				
Durchlaßspannung	on-state voltage	$t_{vj} = t_{vj\ max}, i_F = 1,4\text{ kA}$	V_T	max.	1,57	V
Schleusenspannung	threshold voltage	$t_{vj} = t_{vj\ max}$	$V_{T(TO)}$		0,7	V
Ersatzwiderstand	slope resistance	$t_{vj} = t_{vj\ max}$	r_T		0,58	$\text{m}\Omega$
Sperrstrom	reverse current	$t_{vj} = t_{vj\ max}, V_R = V_{RRM}$	i_R	max.	40	mA
Thermische Eigenschaften		Thermal properties				
Innerer Widerstand	thermal resistance, junction to case	$\Theta = 180^{\circ}\text{ sin DC}$	R_{thJC}	max.	0,098	$^{\circ}\text{C/W}$
Übergangs-Wärmewiderstand	thermal resistance, case to heatsink	ohne Anschlußlasche/without contact lug mit Anschlußlasche/with contact lug	R_{thCK}	max.	0,03	$^{\circ}\text{C/W}$
				max.	0,04	$^{\circ}\text{C/W}$
Höchstzul. Sperrsichttemperatur	max. junction temperature		$t_{vj\ max}$		180	$^{\circ}\text{C}$
Betriebstemperatur	operating temperature		$t_{c\ op}$		-40...+180	$^{\circ}\text{C}$
Lagertemperatur	storage temperature		t_{sig}		-40...+180	$^{\circ}\text{C}$
Mechanische Eigenschaften		Mechanical properties				
Si-Element mit Druckkontakt	Si-pellet with pressure contact	$\varnothing = 30\text{ mm}$				
Anzugsdrehmoment	tightening torque	Gehäuseform/case design B	M		60	Nm
Gewicht	weight		G	typ.	600	g
Kriechstrecke	creepage distance				21	mm
Feuchtekategorie	humidity classification	DIN 40040				C
Schwingfestigkeit	vibration resistance	$f = 50\text{ Hz}$			50	m/s^2
Maßbild	outline				Seite/page	
Polarität	polarity				Kathode=Gehäuse/case	

D 400 K



Bild/Fig. 1
Grenzdurchlaßkennlinie
Limiting forward characteristic $i_F = f(v_F)$

— $t_{vj} = 180\text{ }^{\circ}\text{C}$
- - - $t_{vj} = 25\text{ }^{\circ}\text{C}$

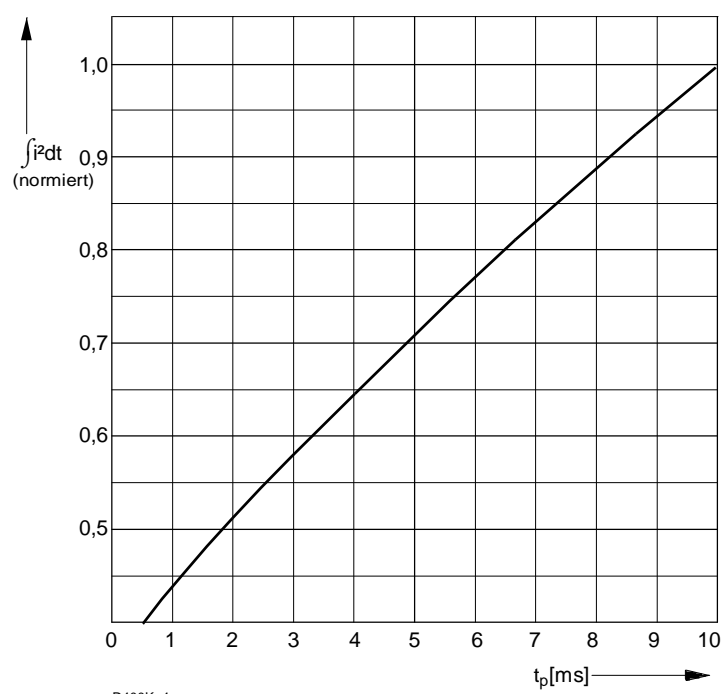


Bild / Fig. 2
Normiertes Grenzlastintegral / Normalized i^2t
 $\int i^2 dt = f(t_p)$

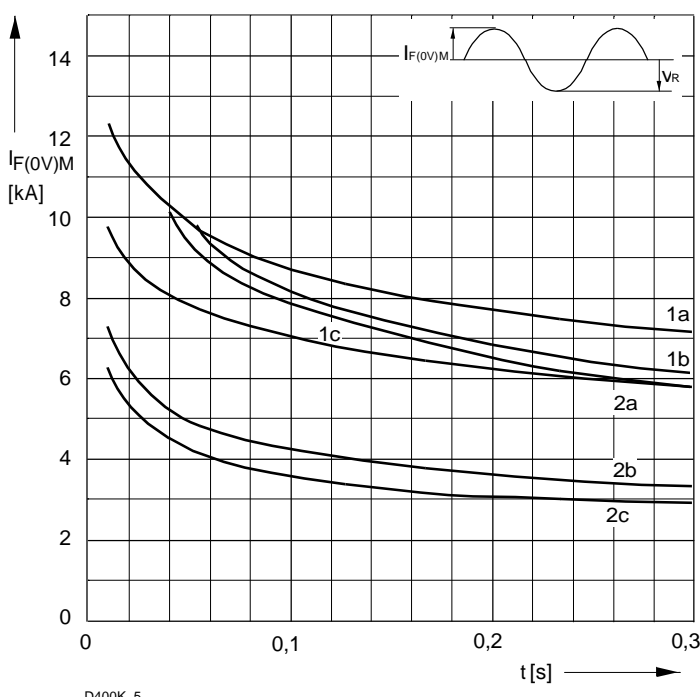


Bild / Fig. 3
Grenzstrom / Maximum overload forward current $I_F(0V)M = f(t)$

1 - $I_{FAV}(\text{vor}) = 0\text{ A}; t_{vj} = t_c = 25\text{ }^{\circ}\text{C}$
2 - $I_{FAV}(\text{vor}) = 400\text{ A}; t_c = 130\text{ }^{\circ}\text{C}; t_{vj} = 180\text{ }^{\circ}\text{C}$

a - $VR \leq 50\text{ V}$
b - $VR = 0,5\text{ VR}_{RM}$
c - $VR = 0,8\text{ VR}_{RM}$

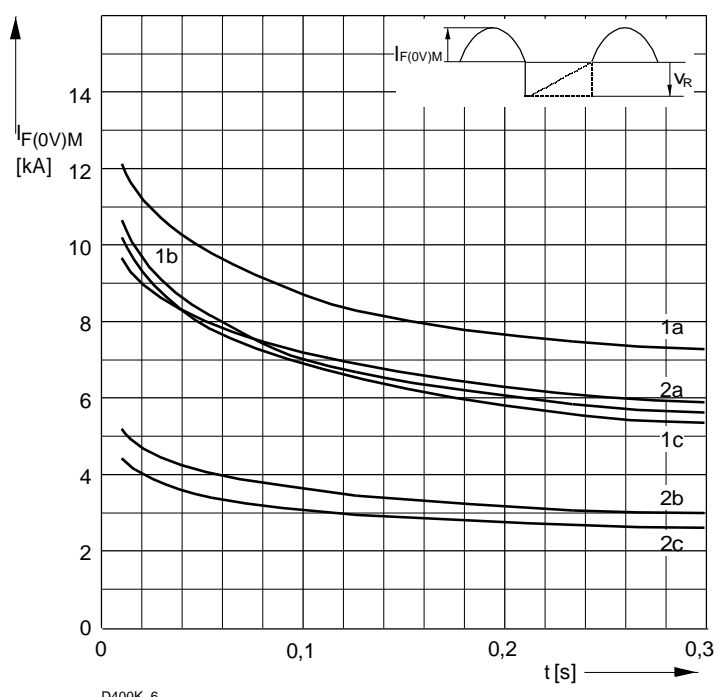


Bild / Fig. 4
Grenzstrom / Maximum overload forward current $I_F(0V)M = f(t)$

1 - $I_{FAV}(\text{vor}) = 0\text{ A}; t_{vj} = t_c = 25\text{ }^{\circ}\text{C}$
2 - $I_{FAV}(\text{vor}) = 400\text{ A}; t_c = 130\text{ }^{\circ}\text{C}; t_{vj} = 180\text{ }^{\circ}\text{C}$

a - $VR \leq 50\text{ V}$
b - $VR = 0,5\text{ VR}_{RM}$
c - $VR = 0,8\text{ VR}_{RM}$

D 400 K

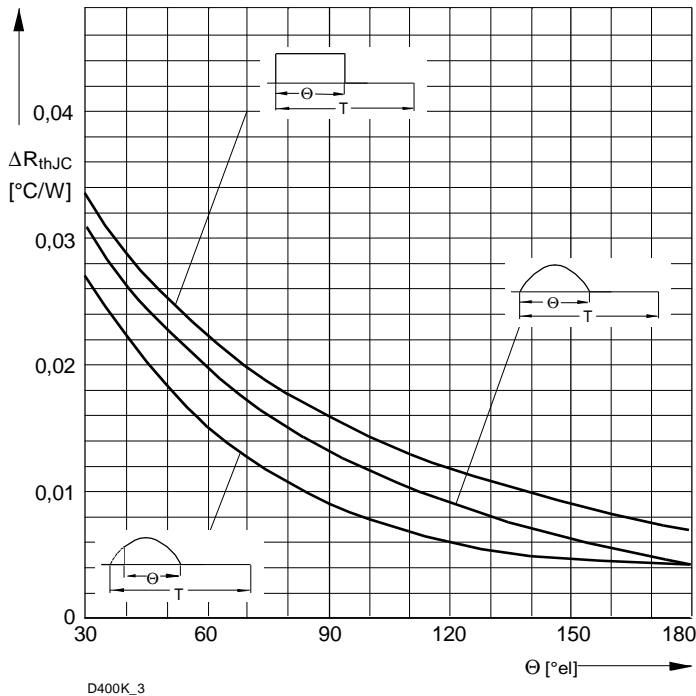


Bild / Fig. 5
Differenz zwischen den Wärmewiderständen
für Pulsstrom und DC
Difference between the values of thermal resistance for
pulse current and DC
Parameter: Stromkurvenform / Current waveform

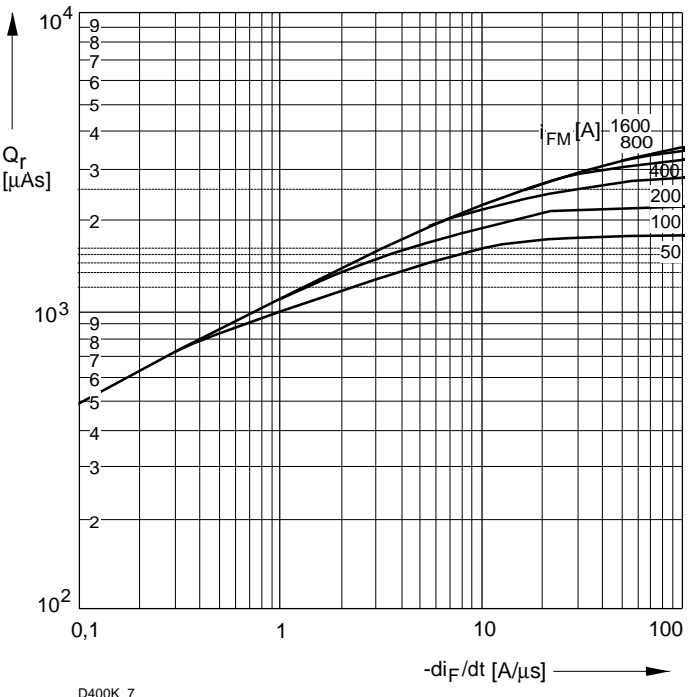


Bild / Fig. 6
Sperrverzögerungsladung / Recovered charge $Q_r = f(-di_F/dt)$
 $t_{vj} = t_{vjmax}$; $VR \leq 0,5 \text{ VR}_{RRM}$; $VRM = 0,8 \text{ VR}_{RRM}$
Beschaltung / Snubber: $C = 0,68 \mu\text{F}$; $R = 5,6 \Omega$
Parameter: Durchlaßstrom / Forward current i_{FM}

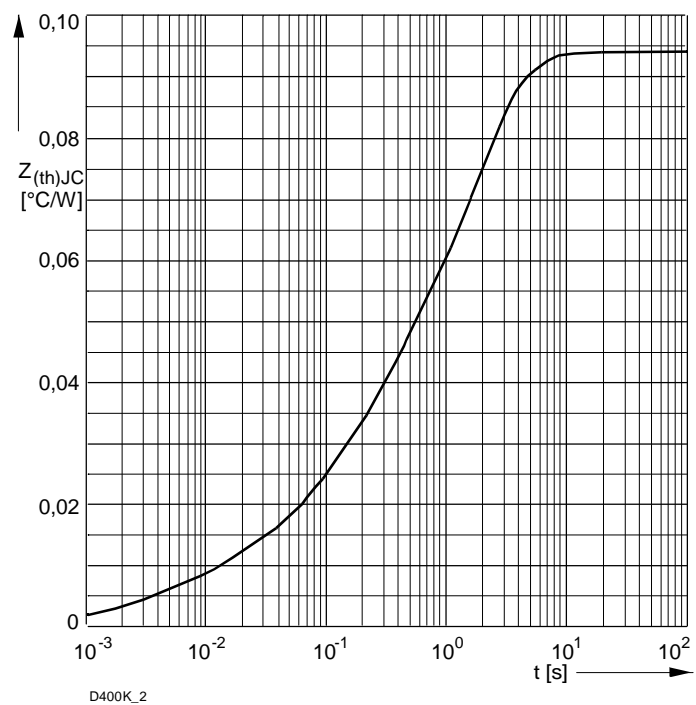


Bild / Fig. 7
Transienter innerer Wärmewiderstand
Transient thermal impedance $Z_{thJC} = f(t)$, DC
1 - Beidseitige Kühlung / Two-sided cooling
2 - Anodenseitige Kühlung / Anode-sided cooling
3 - Kathodenseitige Kühlung / Cathode-sided cooling

Analytische Elemente des transienten Wärmewiderstandes Z_{thJC} für DC
Analytical elements of transient thermal impedance Z_{thJC} for DC

Pos. n	1	2	3	4	5	6	7
R_{thn} $^{\circ}\text{C}/\text{W}$	0,000087	0,004051	0,005142	0,0223	0,06242		
τ_n [s]	0,000096	0,00156	0,0126	0,133	1,67		

Analytische Funktion / Analytical function:

$$Z_{thJC} = \sum_{n=1}^{n_{\max}} R_{thn} (1 - \text{EXP}(-t/\tau_n))$$